

第六章 有限长脉冲响应数字 滤波器设计



郑春红
电子工程学院

Email: chzheng@xidian.edu.cn

2021/10/12

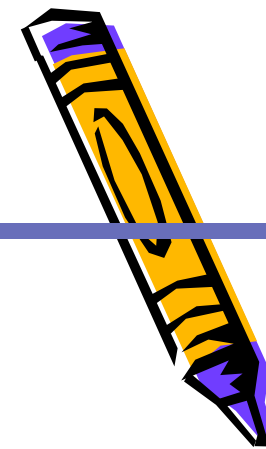
第六章 **FIR**数字滤波器的设计方法

IIR数字滤波器:

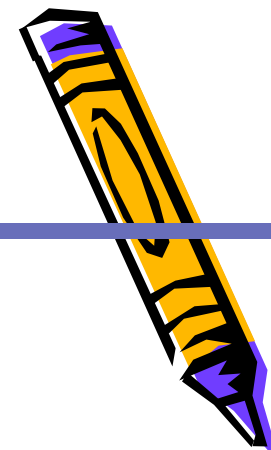
可以利用模拟滤波器设计
但相位非线性

FIR数字滤波器:

可以严格线性相位, 又可任意幅度特性
因果稳定系统
可用**FFT**计算
但阶次比**IIR**滤波器要高得多



第六章 **FIR**数字滤波器的设计方法



- 6.1 线性相位**FIR**数字滤波器的特点
- 6.2 窗函数设计法
- 6.3 频率采样设计法
- 6.4 优化设计
- 6.5 **IIR**与**FIR**数字滤波器的比较



6.1 线性相位FIR数字滤波器的特点

FIR滤波器的单位脉冲响应:

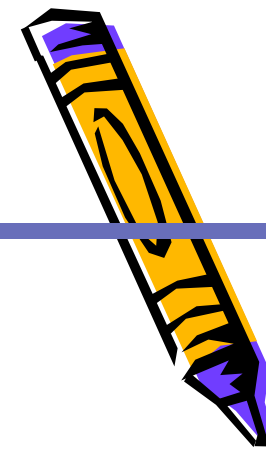
$$h(n) \quad 0 \leq n \leq N-1$$

系统函数:

$$H(z) = \sum_{n=0}^{N-1} h(n)z^{-n}$$

在 z 平面有 $N-1$ 个零点

在 $z = 0$ 处是 $N-1$ 阶极点



6.1 线性相位FIR数字滤波器的特点

■ 1、线性相位条件

$h(n)$ 为实序列时，其频率响应：

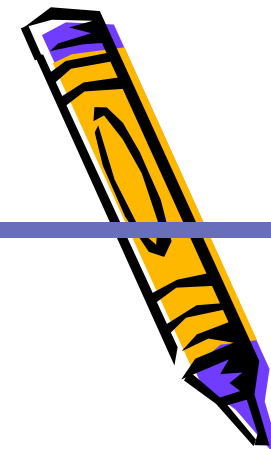
$$H(e^{j\omega}) = \sum_{n=0}^{N-1} h(n)e^{-j\omega n} = H(\omega)e^{j\theta(\omega)} = \pm |H(e^{j\omega})| e^{j\theta(\omega)}$$

线性相位是指 $\theta(\omega)$ 是 ω 的线性函数

即群延时 $-\frac{d\theta(\omega)}{d\omega} = \tau$ 是常数

第一类线性相位： $\theta(\omega) = -\tau\omega$

第二类线性相位： $\theta(\omega) = \beta_0 - \tau\omega$

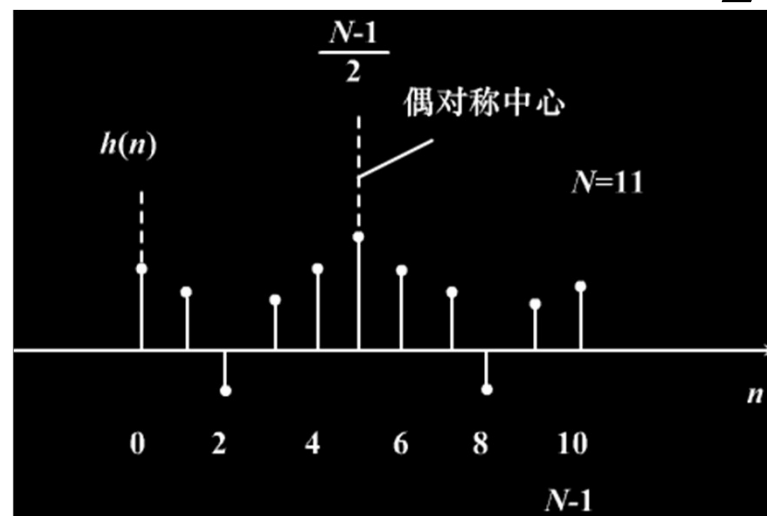
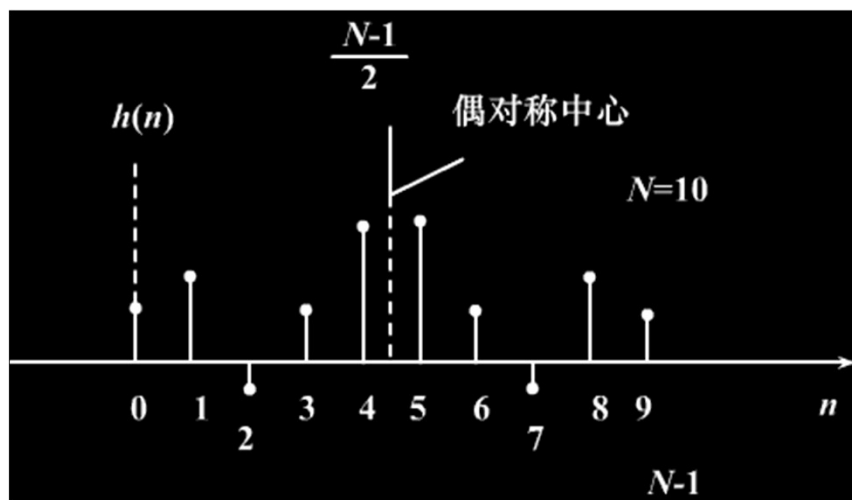


6.1 线性相位FIR数字滤波器的特点

- 第一类线性相位 $\theta(\omega) = -\tau\omega$ 的充要条件:

$$h(n) = h(N-1-n) \quad 0 \leq n \leq N-1$$

$n = (N-1)/2$ 为 $h(n)$ 的偶对称中心 $\tau = \frac{N-1}{2}$



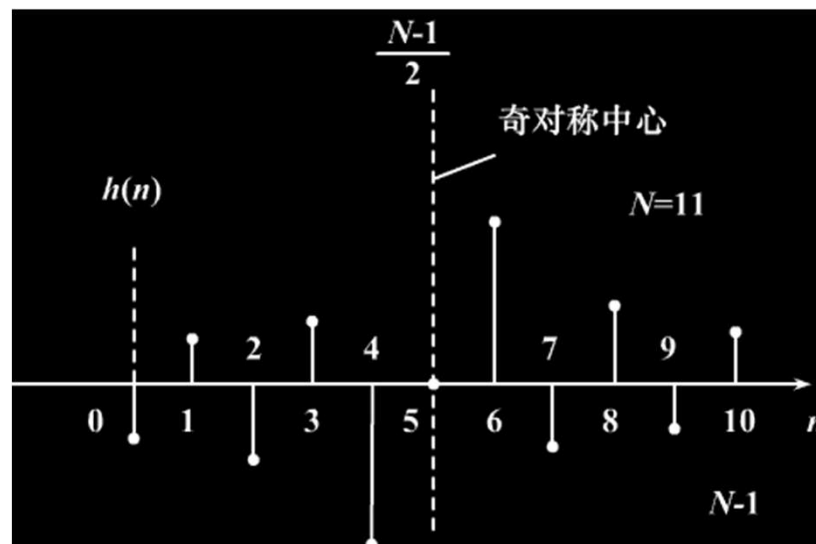
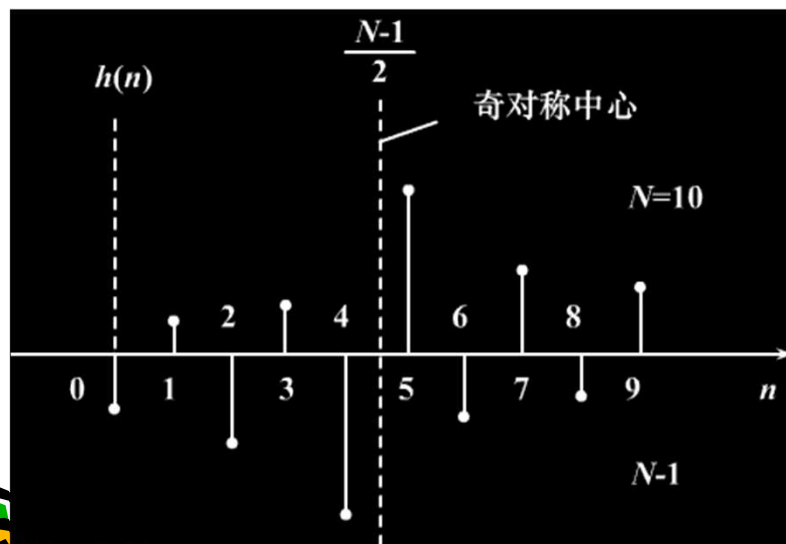
$$\sum_{n=0}^{N-1} h(n) \sin[\omega(n-\tau)] = 0$$

6.1 线性相位FIR数字滤波器的特点

- 第二类线性相位 $\theta(\omega) = \beta_0 - \tau\omega$ 的充要条件:

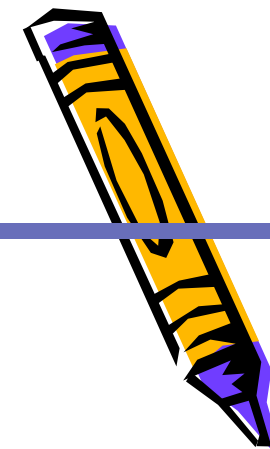
$$h(n) = -h(N-1-n) \quad 0 \leq n \leq N-1$$

$$n = (N-1)/2 \text{ 为 } h(n) \text{ 的奇对称中心} \quad \tau = \frac{N-1}{2} \quad \beta_0 = \pm\pi/2$$



$$\sum_{n=0}^{N-1} h(n) \cos[\omega(n-\tau)] = 0$$

6.1 线性相位FIR数字滤波器的特点



2、线性相位FIR滤波器频率响应的特点

a) $h(n)$ 偶对称

$$h(n) = h(N-1-n)$$

• 频率响应:

$$H(e^{j\omega}) = H(z) \Big|_{z=e^{j\omega}} = e^{-j\frac{N-1}{2}\omega} \sum_{n=0}^{N-1} h(n) \cos \left[\left(\frac{N-1}{2} - n \right) \omega \right]$$

相位函数: $\theta(\omega) = -\frac{N-1}{2}\omega$

为第一类线性相位



$$\tau = \frac{N-1}{2}$$

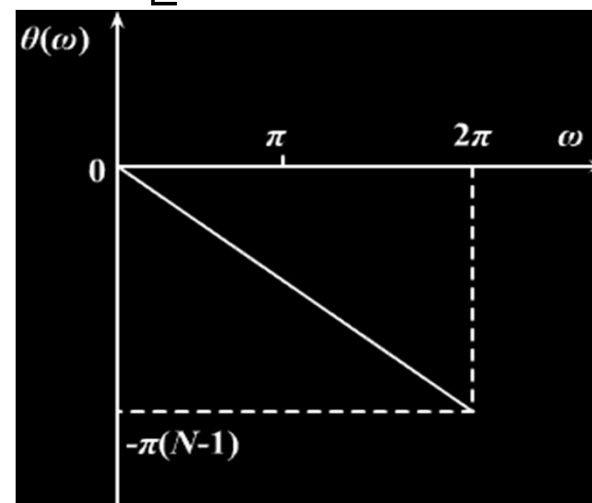
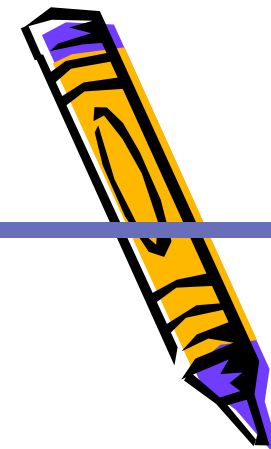


图6-1 $h(n)$ 偶对称时的线性相位特性

6.1 线性相位FIR数字滤波器的特点



b) $h(n)$ 奇对称

$$h(n) = -h(N-1-n)$$

• 频率响应:

$$\begin{aligned} H(e^{j\omega}) &= H(z) \Big|_{z=e^{j\omega}} = je^{-j\frac{N-1}{2}\omega} \sum_{n=0}^{N-1} h(n) \sin \left[\left(\frac{N-1}{2} - n \right) \omega \right] \\ &= e^{-j\frac{N-1}{2}\omega + j\frac{\pi}{2}} \sum_{n=0}^{N-1} h(n) \sin \left[\left(\frac{N-1}{2} - n \right) \omega \right] \end{aligned}$$

相位函数:

$$\theta(\omega) = -\frac{N-1}{2}\omega + \frac{\pi}{2}$$

为第二类线性相位

$$\tau = \frac{N-1}{2} \quad \beta_0 = \pi / 2$$

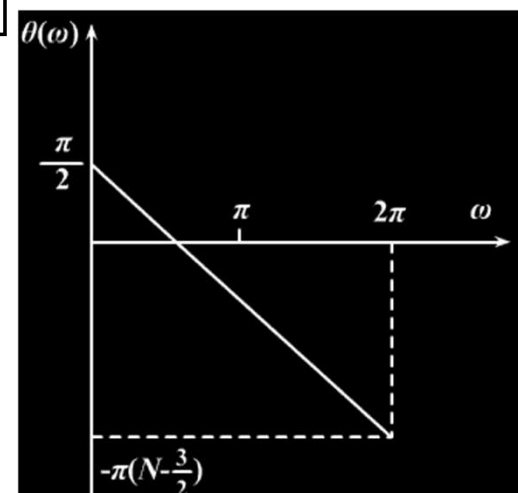


图6-2 $h(n)$ 奇对称时的 90° 相移线性相位特性



6.1 线性相位FIR数字滤波器的特点

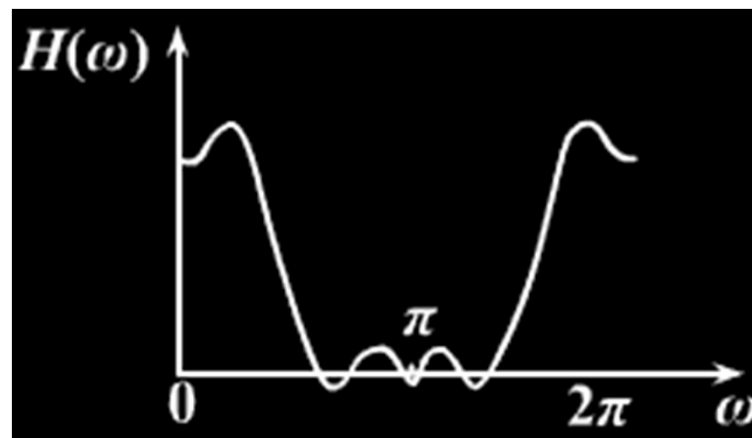
■ 3、幅度函数的特点

a) $h(n)$ 偶对称, N 为奇数

幅度函数:

$$H(\omega) = \sum_{n=0}^{(N-1)/2} a(n) \cos(\omega n)$$

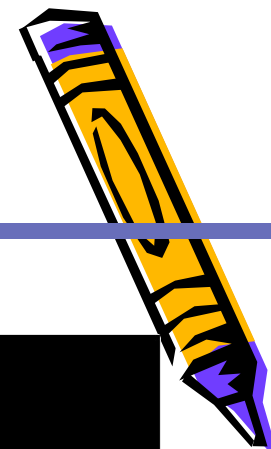
$$\text{其中 } a(n) = 2h\left(\frac{N-1}{2} + n\right), \quad 1 \leq n \leq \frac{N-1}{2}$$
$$a(0) = h\left(\frac{N-1}{2}\right)$$



可以实现各种滤波器。

$\therefore \cos(\omega n)$ 对 $\omega = 0, \pi, 2\pi$ 呈偶对称

$\therefore H(\omega)$ 对 $\omega = 0, \pi, 2\pi$ 呈偶对称

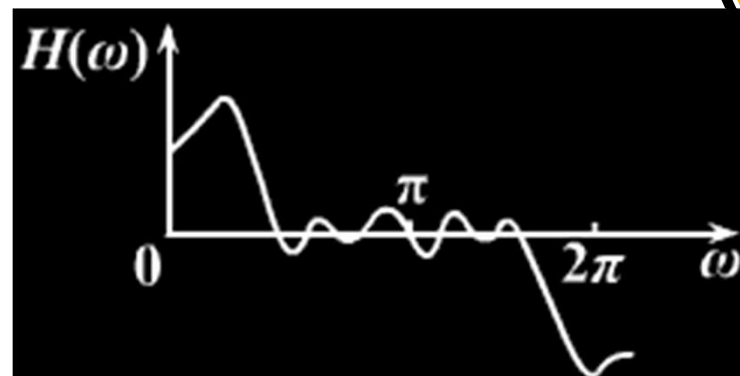


6.1 线性相位FIR数字滤波器的特点

b) $h(n)$ 偶对称, N 为偶数

幅度函数:

$$H(\omega) = \sum_{n=0}^{N/2-1} b(n) \cos \left[\omega \left(n - \frac{1}{2} \right) \right]$$



$$\text{其中: } b(n) = 2h\left(\frac{N}{2} - 1 + n\right) \quad 0 \leq n \leq \frac{N}{2} - 1$$

$$\omega = \pi \text{ 时 } \cos \left[\omega \left(n - \frac{1}{2} \right) \right] = 0$$

不能设计成高通、带通滤波器

$H(\omega)$ 对 $\omega = 0, 2\pi$ 呈偶对称

$H(\omega)$ 对 $\omega = \pi$ 呈奇对称

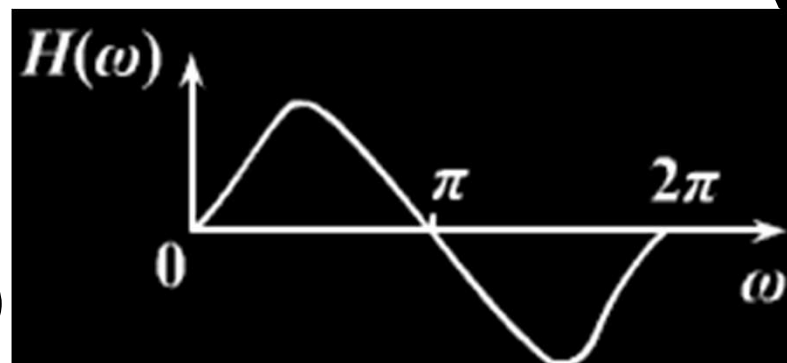


6.1 线性相位FIR数字滤波器的特点

c) $h(n)$ 奇对称, N 为奇数

幅度函数:

$$H(\omega) = \sum_{n=0}^{\frac{N-1}{2}} c(n) \sin(\omega n)$$

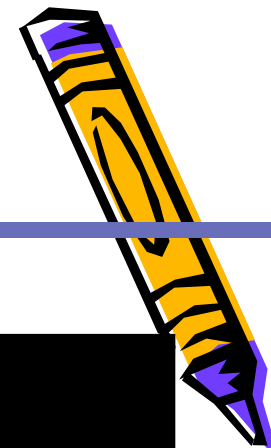


其中: $c(n) = 2h\left(\frac{N-1}{2} + n\right) \quad 0 \leq n \leq \frac{N-1}{2}$

因 $\sin(\omega n)$ 对 $\omega = 0, \pi, 2\pi$ 呈奇对称

故 $H(\omega)$ 对 $\omega = 0, \pi, 2\pi$ 呈奇对称

只能实现带通滤波器。

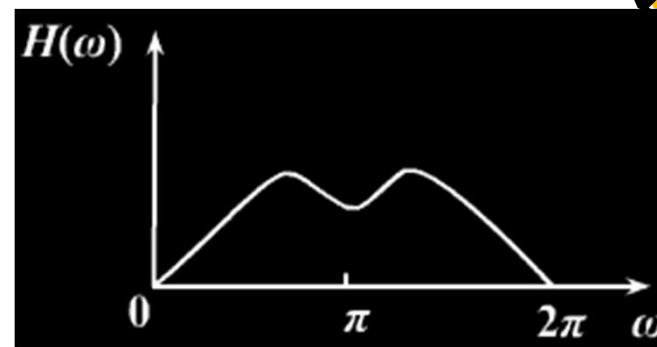


6.1 线性相位FIR数字滤波器的特点

d) $h(n)$ 奇对称, N 为偶数

幅度函数:

$$H(\omega) = \sum_{n=0}^{N/2-1} d(n) \sin \left[\omega \left(n - \frac{1}{2} \right) \right]$$



$$\text{其中: } d(n) = 2h\left(\frac{N}{2} - 1 + n\right) \quad 0 \leq n \leq \frac{N}{2}$$

$H(\omega)$ 对 $\omega = 0, 2\pi$ 呈奇对称

$H(\omega)$ 对 $\omega = \pi$ 呈偶对称

不能实现低通和带阻滤波器



表 7.1.1 线性相位 FIR 滤波器的幅度特性与相位特性一览表

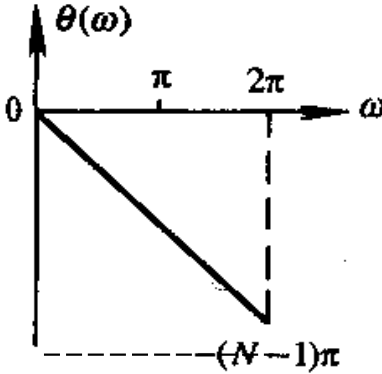
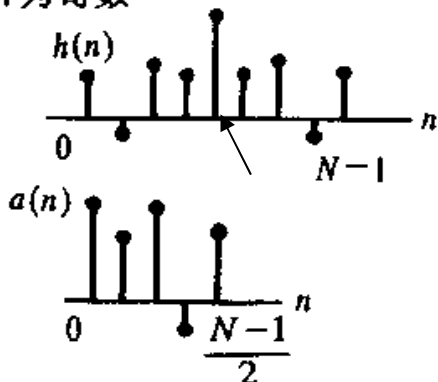
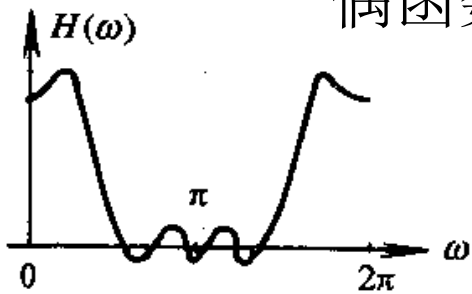
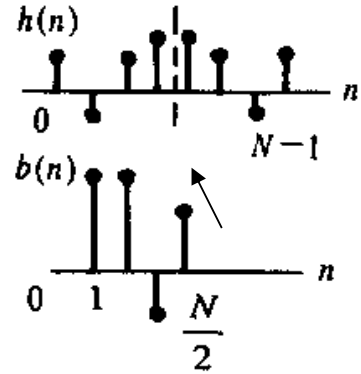
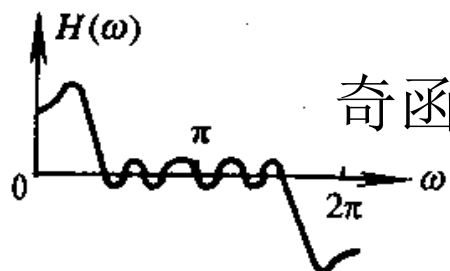
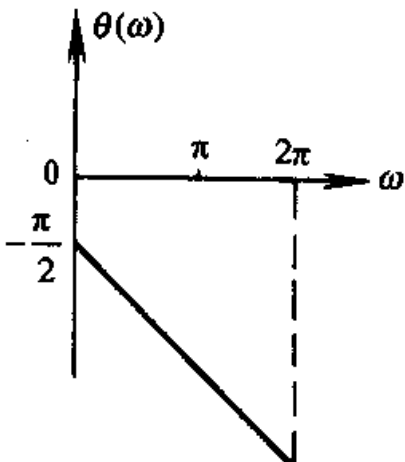
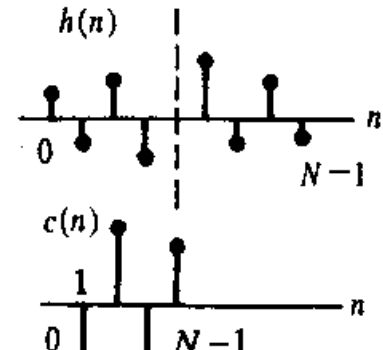
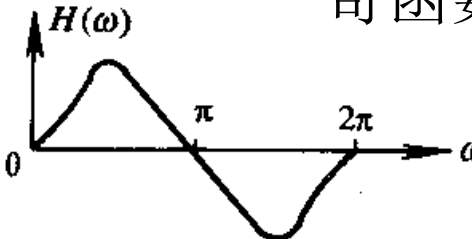
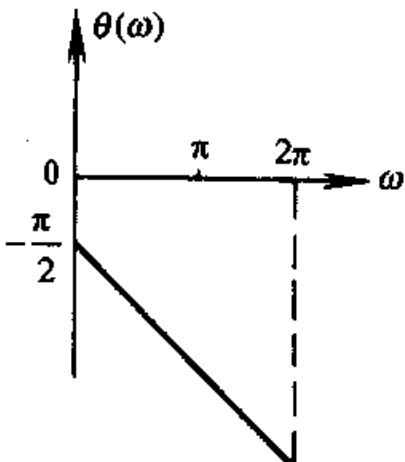
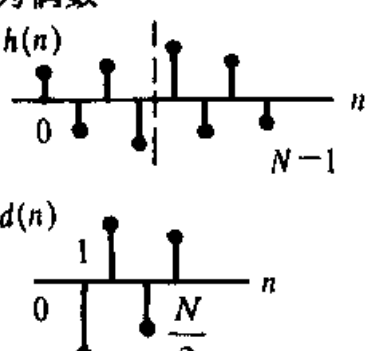
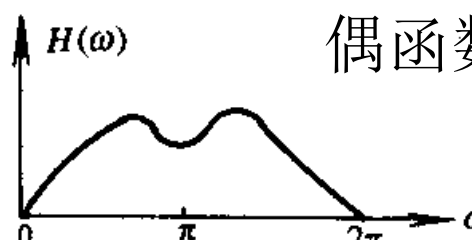
偶对称单位脉冲响应		$h(n) = h(N-1-n)$	
情况 1	<p>相位响应</p> $\theta(\omega) = -\omega \left(\frac{N-1}{2} \right)$ 	<p>N 为奇数</p> 	$H_g(\omega) = \sum_{n=0}^{(N-1)/2} a(n) \cos n\omega$ <p>偶函数</p> 
情况 2		<p>N 为偶数</p> 	$H_g(\omega) = \sum_{n=1}^{N/2} b(n) \cos \left[\left(n - \frac{1}{2} \right) \omega \right]$ <p>奇函数</p> 

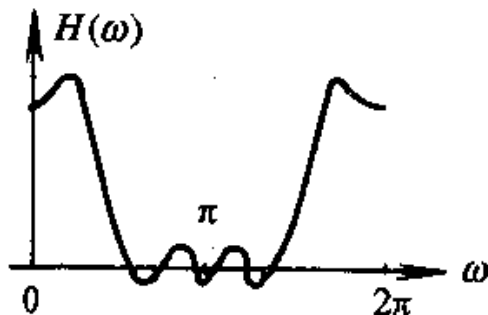
表 7.1.1 线性相位 FIR 滤波器的幅度特性与相位特性一览表

■ 奇对称, $h(n) = -h(N-n-1)$

情况 3	<p>相位响应</p> $\theta(\omega) = -\omega \left(\frac{N-1}{2} \right) - \frac{\pi}{2}$ 	<p>N 为奇数</p> 	$H_g(\omega) = \sum_{n=1}^{(N-1)/2} c(n) \sin(n\omega)$  <p>奇函数</p>
情况 4		<p>N 为偶数</p> 	$H_g(\omega) = \sum_{n=1}^{N/2} d(n) \sin \left[\omega \left(n - \frac{1}{2} \right) \right]$  <p>偶函数</p>

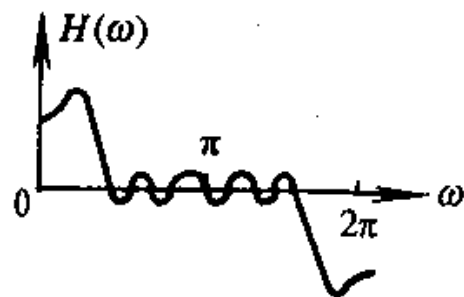
I)

$$H_g(\omega) = \sum_{n=0}^{(N-1)/2} a(n) \cos n\omega$$



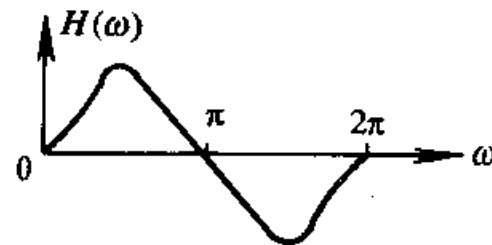
II)

$$H_g(\omega) = \sum_{n=1}^{N/2} b(n) \cos \left[\left(n - \frac{1}{2} \right) \omega \right]$$



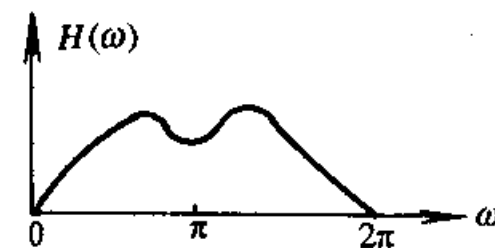
III)

$$H_g(\omega) = \sum_{n=1}^{(N-1)/2} c(n) \sin(n\omega)$$



IV)

$$H_g(\omega) = \sum_{n=1}^{N/2} d(n) \sin \left[\omega \left(n - \frac{1}{2} \right) \right]$$



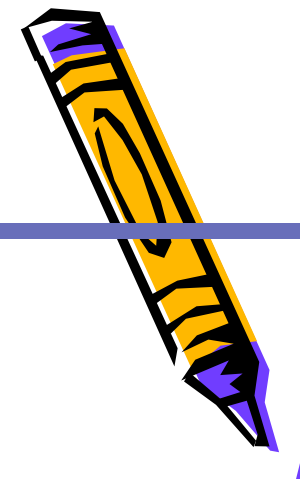
第 I)种情况可以实现各种滤波器 (低通, 高通, 带通, 带阻)

第 II)种情况不能实现高通和带通滤波器

第 III)种情况只能实现带通滤波器

第 IV)种情况不能实现低通和带阻滤波器

6.1 线性相位FIR数字滤波器的特点



■ 4、零点位置

由 $H(z) = \pm z^{-(N-1)} H(z^{-1})$ 得:

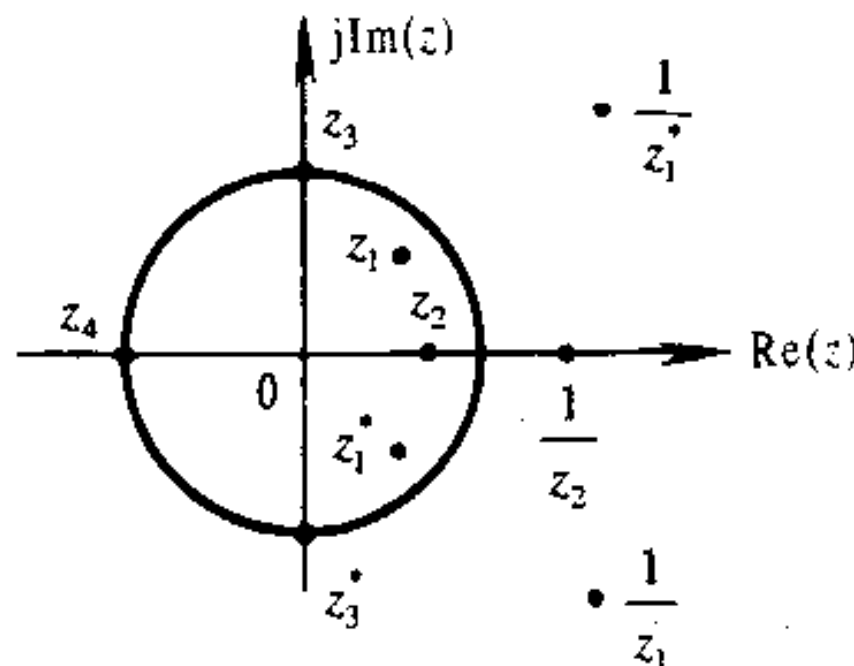
1) 若 $z = z_i$ 是 $H(z)$ 的零点, 则
 $z = z_i^{-1}$ 也是零点

$$\because H(z_i) = 0$$

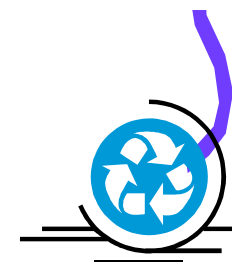
$$\therefore H(z_i^{-1}) = \pm z_i^{(N-1)} H(z_i) = 0$$

2) $h(n)$ 为实数, 则零点共轭成对

即 z_i^* , $1/z_i^*$ 也是零点



线性相位滤波器的零点是互为倒数的共轭对
即共轭成对且镜像成对



6.2 窗函数设计法

1、设计方法

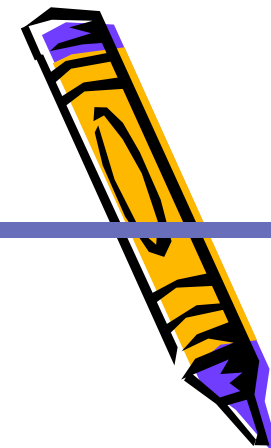
$$H(e^{j\omega}) = \sum_{n=0}^{N-1} h(n)e^{-j\omega n} \rightarrow H_d(e^{j\omega})$$

$$h_d(n) = \frac{1}{2\pi} \int_{-\pi}^{\pi} H_d(e^{j\omega}) e^{j\omega n} d\omega$$

$$h(n) = w(n)h_d(n)$$

$w(n)$: 窗函数序列

要选择合适的形状和长度



6.2 窗函数设计法

- 以低通滤波器为例讨论：

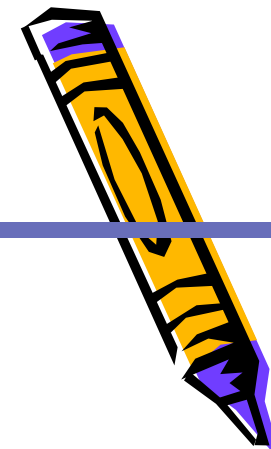
线性相位理想低通滤波器的频率响应：

$$H_d(e^{j\omega}) = \begin{cases} e^{-j\omega\alpha} & -\omega_c \leq \omega \leq \omega_c \\ 0 & -\pi \leq \omega \leq -\omega_c, \omega_c \leq \omega \leq \pi \end{cases}$$

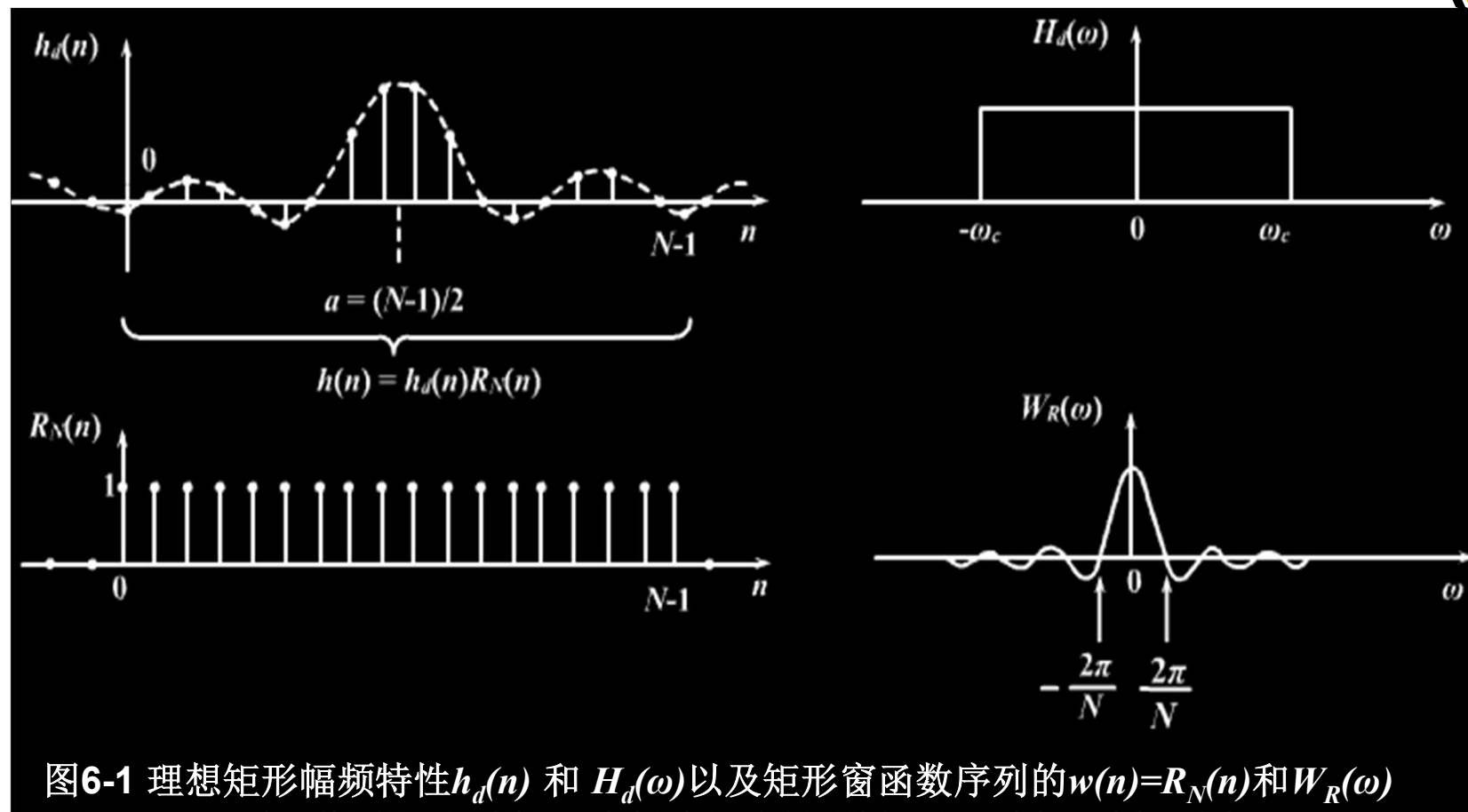
其理想单位抽样响应：

$$h_d(n) = \frac{1}{2\pi} \int_{-\omega_c}^{\omega_c} e^{-j\omega\alpha} e^{j\omega n} d\omega = \frac{\omega_c}{\pi} \frac{\sin[\omega_c(n-\alpha)]}{\omega_c(n-\alpha)}$$

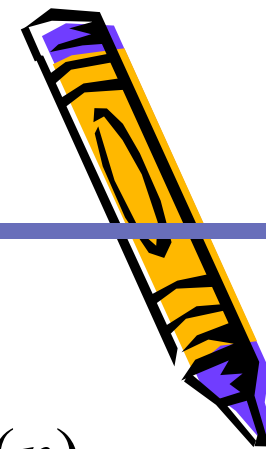
中心点为 α 的偶对称无限长非因果序列



6.2 窗函数设计法



6.2 窗函数设计法



$$h_d(n) = \frac{\omega_c}{\pi} \frac{\sin[\omega_c(n - \alpha)]}{\omega_c(n - \alpha)}$$

取矩形窗： $w(n) = R_N(n)$

则**FIR**滤波器的单位抽样响应：

$$h(n) = h_d(n)w(n) = \begin{cases} h_d(n) & 0 \leq n \leq N-1 \\ 0 & \text{其它 } n \end{cases}$$

按第一类线性相位条件，得

$$\alpha = \frac{N-1}{2}$$

$$\therefore h(n) = \begin{cases} \frac{\omega_c}{\pi} \frac{\sin\left[\omega_c\left(n - \frac{N-1}{2}\right)\right]}{\omega_c\left(n - \frac{N-1}{2}\right)} & 0 \leq n \leq N-1 \\ 0 & \text{其它 } n \end{cases}$$



6.2 窗函数设计法

- 加窗处理后对频率响应的影响：

时域乘积相当于频域卷积 $h(n) = h_d(n)w(n)$

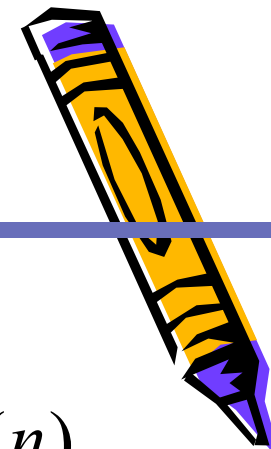
$$H(e^{j\omega}) = \frac{1}{2\pi} \int_{-\pi}^{\pi} H_d(e^{j\theta}) W(e^{j(\omega-\theta)}) d\theta$$

而矩形窗的频率响应：

$$W_R(e^{j\omega}) = \sum_{n=0}^{N-1} w(n) e^{-j\omega n} = e^{-j\omega \frac{N-1}{2}} \frac{\sin \frac{\omega N}{2}}{\sin \frac{\omega}{2}}$$

其幅度函数：

$$W_R(\omega) = \frac{\sin \frac{\omega N}{2}}{\sin \frac{\omega}{2}}$$



6.2 窗函数设计法

理想滤波器的频率响应：

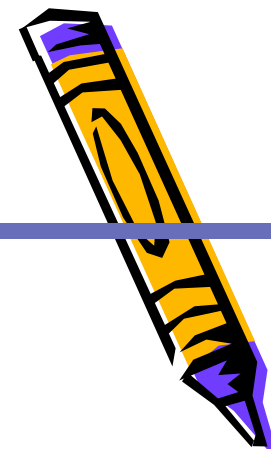
$$H_d(e^{j\omega}) = H_d(\omega)e^{-j\frac{N-1}{2}\omega}$$

$$\text{其幅度函数: } H_d(\omega) = \begin{cases} 1 & |\omega| \leq \omega_c \\ 0 & \omega_c \leq |\omega| \leq \pi \end{cases}$$

则**FIR**滤波器的频率响应：

$$\begin{aligned} H(e^{j\omega}) &= \frac{1}{2\pi} \int_{-\pi}^{\pi} H_d(\theta) e^{-j\frac{N-1}{2}\theta} W_R(\omega - \theta) e^{-j\frac{N-1}{2}(\omega - \theta)} d\theta \\ &= e^{-j\frac{N-1}{2}\omega} \frac{1}{2\pi} \int_{-\pi}^{\pi} H_d(\theta) W_R(\omega - \theta) d\theta \end{aligned}$$

$$\text{其幅度函数: } H(\omega) = \frac{1}{2\pi} \int_{-\pi}^{\pi} H_d(\theta) W_R(\omega - \theta) d\theta$$



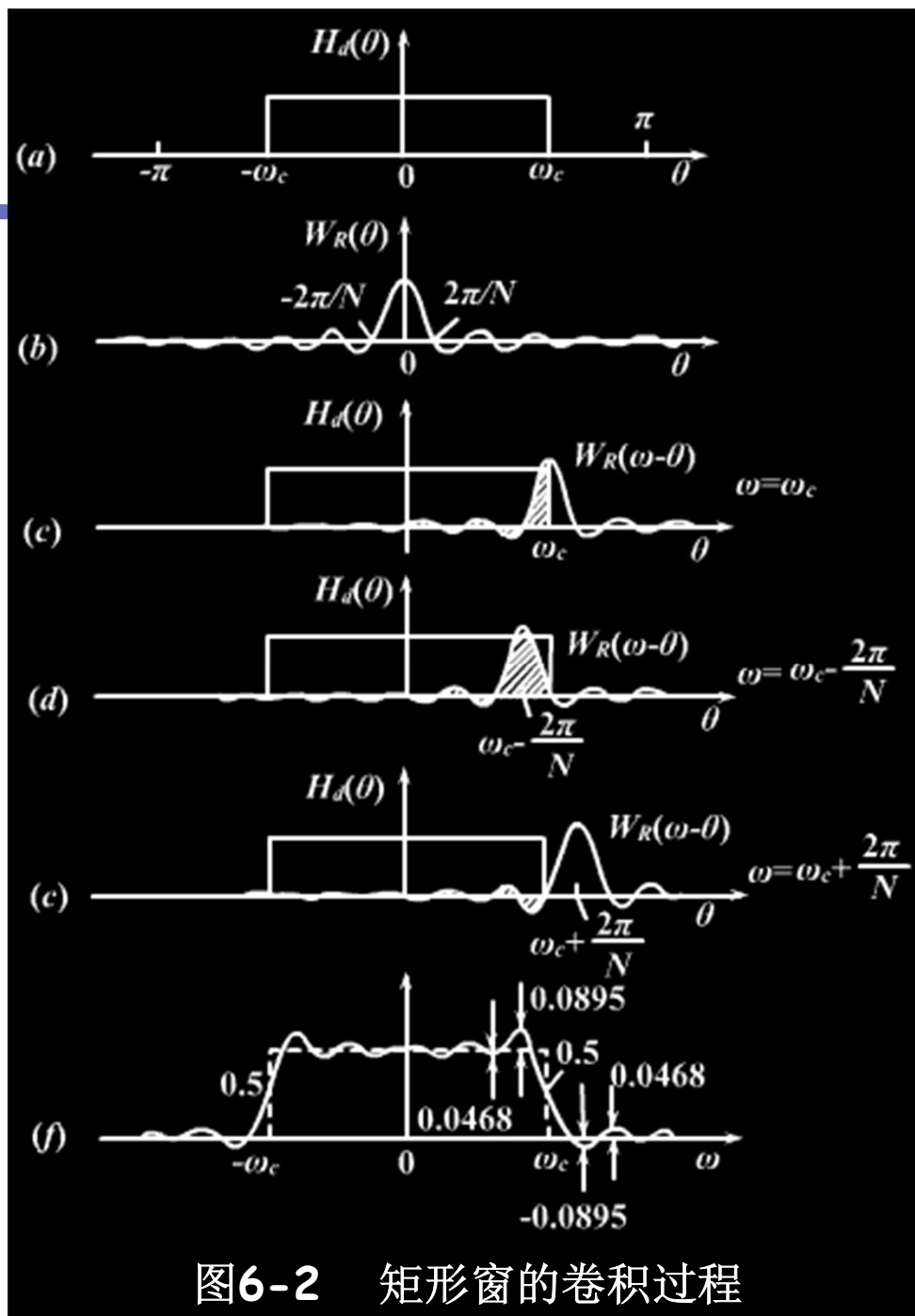


图6-2 矩形窗的卷积过程

6.2 窗函数设计法

幅度函数:
$$H(\omega) = \frac{1}{2\pi} \int_{-\pi}^{\pi} H_d(\theta) W_R(\omega - \theta) d\theta$$

- $\omega = 0$ $H(0)$ 近似于 $W_R(\theta)$ 的全部积分面积
- $\omega = \omega_c$ $H(\omega_c) = 0.5H(0)$
- $\omega = \omega_c - \frac{2\pi}{N}$ $H\left(\omega_c - \frac{2\pi}{N}\right)$ 为最大值, 正肩峰
- $\omega = \omega_c + \frac{2\pi}{N}$ $H\left(\omega_c + \frac{2\pi}{N}\right)$ 为最小值, 负肩峰
 - $\omega > \omega_c + \frac{2\pi}{N}$ 随 $\omega \uparrow$, $H(\omega)$ 绕零值波动
 - $\omega < \omega_c - \frac{2\pi}{N}$ 随 $\omega \downarrow$, $H(\omega)$ 绕 $H(0)$ 波动



6.2 窗函数设计法

幅度函数:
$$H(\omega) = \frac{1}{2\pi} \int_{-\pi}^{\pi} H_d(\theta) W_R(\omega - \theta) d\theta$$

- $\omega = 0$ $H(0)$ 近似于 $W_R(\theta)$ 的全部积分面积
- $\omega = \omega_c$ $H(\omega_c) = 0.5H(0)$
- $\omega = \omega_c - \frac{2\pi}{N}$ $H\left(\omega_c - \frac{2\pi}{N}\right)$ 为最大值, 正肩峰
- $\omega = \omega_c + \frac{2\pi}{N}$ $H\left(\omega_c + \frac{2\pi}{N}\right)$ 为最小值, 负肩峰
 - $\omega > \omega_c + \frac{2\pi}{N}$ 随 $\omega \uparrow$, $H(\omega)$ 绕零值波动
 - $\omega < \omega_c - \frac{2\pi}{N}$ 随 $\omega \downarrow$, $H(\omega)$ 绕 $H(0)$ 波动



6.2 窗函数设计法


■ 加窗函数的影响：

- 不连续点处边沿加宽形成过渡带，其宽度（两肩峰之间的宽度）等于窗函数频率响应的主瓣宽度。

- 在 $\omega = \omega_c \pm \frac{2\pi}{N}$ 处出现肩峰值，两侧形成起伏振

荡，振荡的幅度和多少取决于旁瓣的幅度和多少

- 改变 N 只能改变窗谱的主瓣宽度，但不能改变主瓣与旁瓣的相对比例。其相对比例由窗函数形状决定，称为**Gibbs效应**

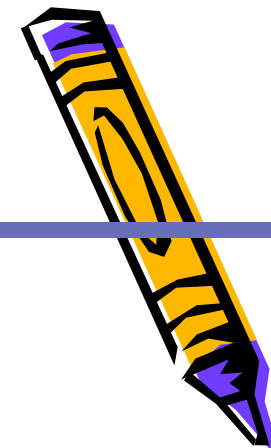


幅度函数：
$$W_R(\omega) = \frac{\sin \frac{\omega N}{2}}{\sin \frac{\omega}{2}} \approx N \frac{\sin \frac{\omega N}{2}}{N \frac{\omega}{2}} = N \frac{\sin x}{x}$$

6.2 窗函数设计法

2、各种窗函数

- 窗函数的要求：
 - 窗谱主瓣尽可能窄以获得较陡的过渡带
 - 尽量减少窗谱最大旁瓣的相对幅度以减小肩峰和波纹



6.2 窗函数设计法

- 矩形窗 $w(n) = R_N(n)$

窗谱:

$$W_R(e^{j\omega}) = \sum_{n=0}^{N-1} w(n)e^{-j\omega n} = W_R(\omega)e^{-j\omega\frac{N-1}{2}}$$

幅度函数:

$$W_R(\omega) = \frac{\sin\frac{\omega N}{2}}{\sin\frac{\omega}{2}}$$



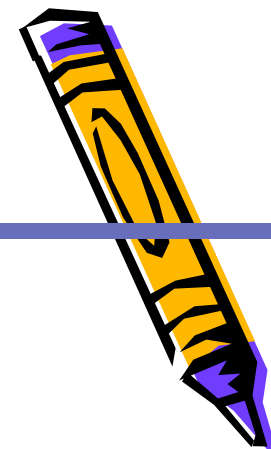
主瓣宽度最窄:

$$\frac{4\pi}{N}$$

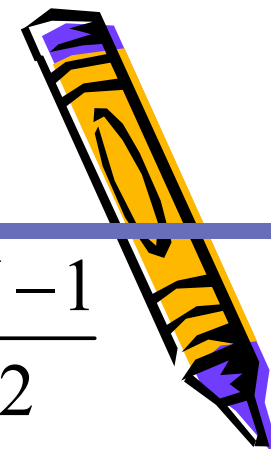
旁瓣幅度大

$$\Delta B = 1.8\pi / N$$

$$\alpha_s = 21\text{dB}$$



6.2 窗函数设计法



- 三角形 (**Bartlett**) 窗
$$w(n) = \begin{cases} \frac{2n}{N-1} & 0 \leq n \leq \frac{N-1}{2} \\ 2 - \frac{2n}{N-1} & \frac{N-1}{2} \leq n \leq N-1 \end{cases}$$

窗谱: $W(e^{j\omega}) = W(\omega)e^{-j\omega\frac{N-1}{2}}$

幅度函数:

$$W(\omega) = \frac{2}{N} \left[\frac{\sin \frac{\omega N}{4}}{\sin \frac{\omega}{2}} \right]^2 \quad N \gg 1$$



主瓣宽度宽: $\frac{8\pi}{N}$

旁瓣幅度较小

$$\Delta B = 6.1\pi / N$$

$$\alpha_s = 25\text{dB}$$

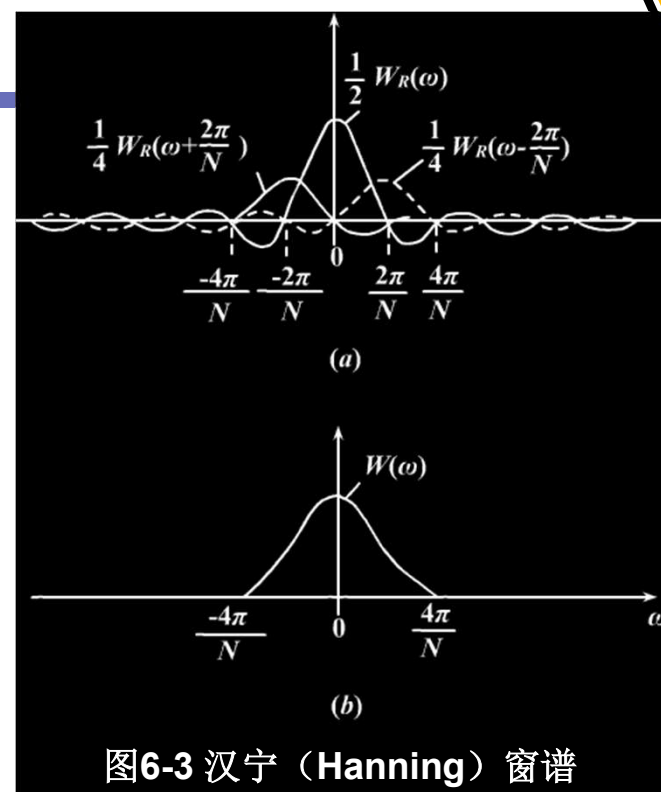
6.2 窗函数设计法

- 汉宁 (Hanning) 窗
(升余弦窗)

$$w(n) = \frac{1}{2} \left[1 - \cos \frac{2\pi n}{N-1} \right] R_N(n)$$

幅度函数: ($N \gg 1$)

$$W(\omega) = 0.5W_R(\omega) + 0.25 \left[W_R\left(\omega - \frac{2\pi}{N}\right) + W_R\left(\omega + \frac{2\pi}{N}\right) \right]$$



$$\Delta B = 6.2\pi / N$$

主瓣宽度宽: $\frac{8\pi}{N}$

旁瓣幅度小 $\alpha_s = 44\text{dB}$



6.2 窗函数设计法

- 汉明 (Hamming) 窗
(改进的升余弦窗)

$$w(n) = \left[0.54 - 0.46 \cos \frac{2\pi n}{N-1} \right] R_N(n)$$

幅度函数: ($N \gg 1$)

$$W(\omega) = 0.54W_R(\omega) + 0.23 \left[W_R\left(\omega - \frac{2\pi}{N}\right) + W_R\left(\omega + \frac{2\pi}{N}\right) \right]$$

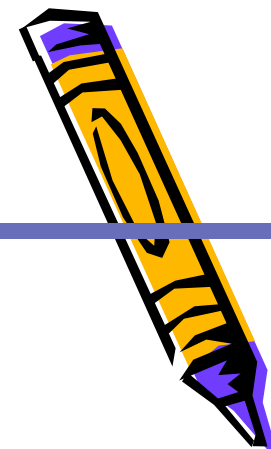


主瓣宽度宽: $\frac{8\pi}{N}$

旁瓣幅度更小

$$\Delta B = 6.6\pi / N$$

$$\alpha_s = 53\text{dB}$$



6.2 窗函数设计法

- 布莱克曼 (**Blackman**) 窗
(二阶升余弦窗)

$$w(n) = \left[0.42 - 0.5 \cos \frac{2\pi n}{N-1} + 0.08 \cos \frac{4\pi n}{N-1} \right] R_N(n)$$

幅度函数: ($N \gg 1$)

$$W(\omega) = 0.42W_R(\omega) + 0.25 \left[W_R\left(\omega - \frac{2\pi}{N}\right) + W_R\left(\omega + \frac{2\pi}{N}\right) \right] \\ + 0.04 \left[W_R\left(\omega - \frac{4\pi}{N}\right) + W_R\left(\omega + \frac{4\pi}{N}\right) \right]$$

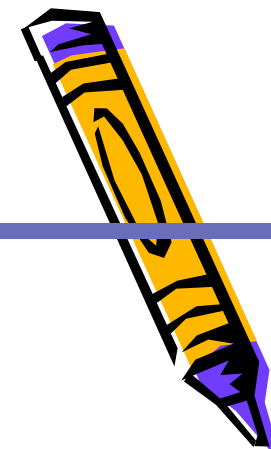
$$\Delta B = 11\pi / N$$

主瓣宽度最宽:

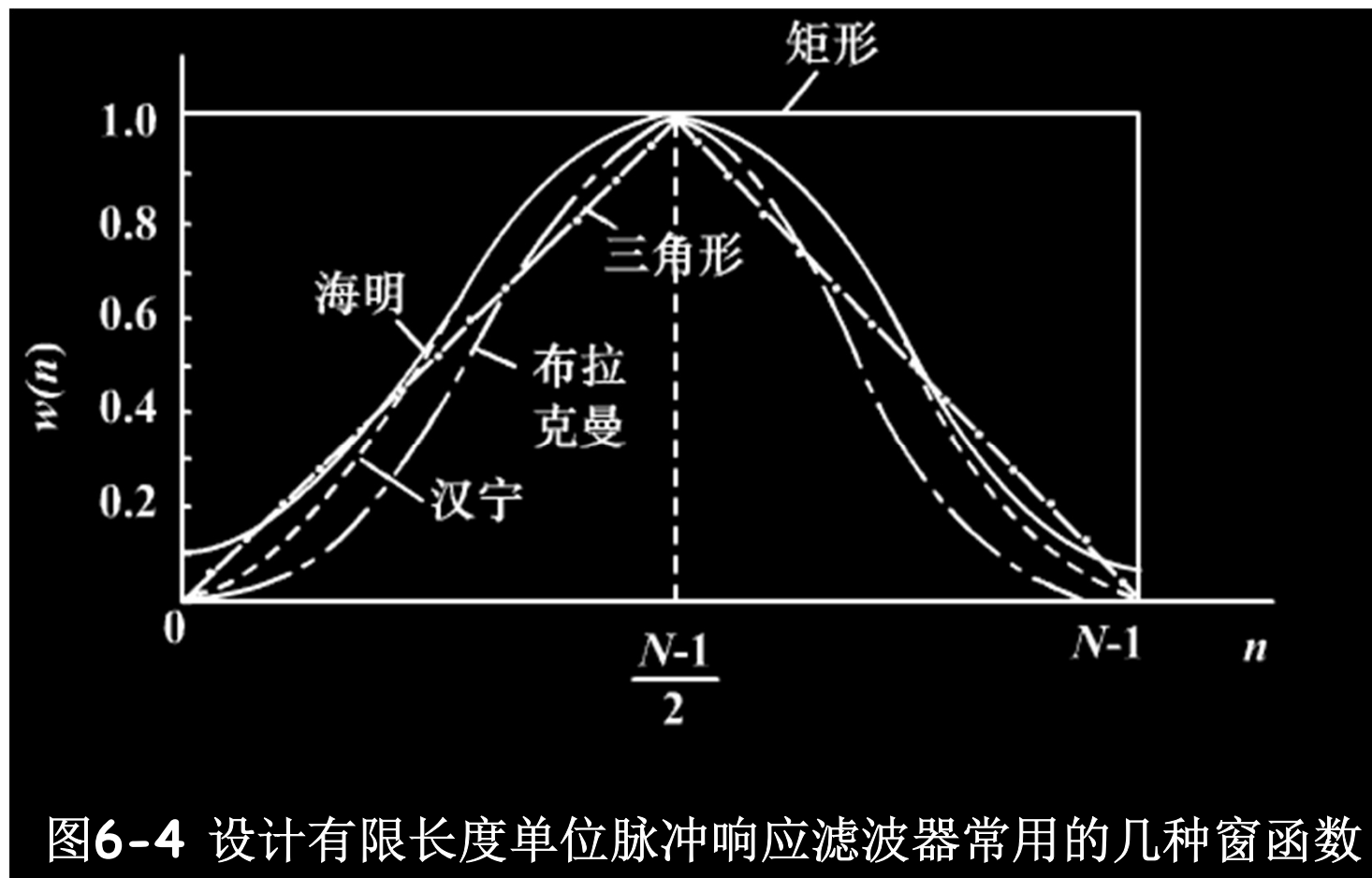
$$\frac{12\pi}{N}$$

旁瓣幅度最小

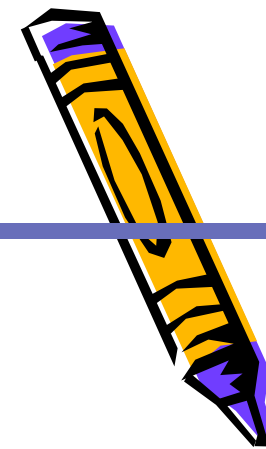
$$\alpha_s = 74\text{dB}$$



6.2 窗函数设计法



6.2 窗函数设计法



- 凯泽 (Kaiser) 窗

$$w(n) = \frac{I_0 \left(\beta \sqrt{1 - \left(1 - \frac{2n}{N-1} \right)^2} \right)}{I_0(\beta)} \quad 0 \leq n \leq N-1$$

$I_0(\cdot)$: 第一类变形零阶

贝塞尔函数

改变 β 可同时调整主瓣

宽度和旁瓣幅度

$\beta \uparrow$ 旁瓣幅度 \downarrow

但主瓣宽度 \uparrow

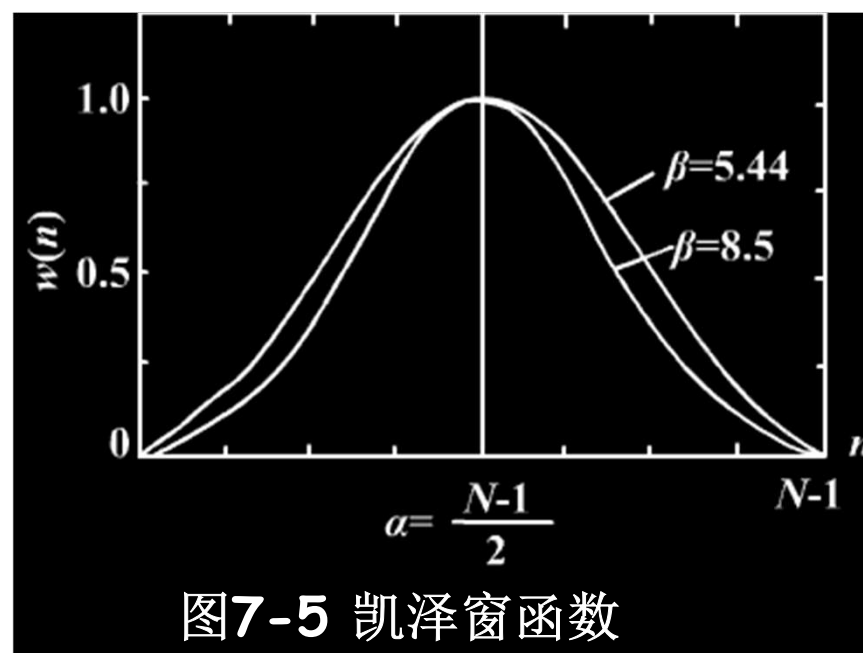


图7-5 凯泽窗函数

6.2 窗函数设计法

窗函数	窗谱性能指标		加窗后滤波器性能指标	
	旁瓣峰值 /dB	主瓣宽度 /rad	过渡带宽 $\Delta\omega$ /rad	阻带最小衰减 /dB
矩形窗	-13	$4\pi/N$	$1.8\pi/N$	21
三角形窗	-25	$8\pi/N$	$6.1\pi/N$	25
汉宁窗	-31	$8\pi/N$	$6.2\pi/N$	44
汉明窗	-41	$8\pi/N$	$6.6\pi/N$	53
布莱克曼窗	-57	$12\pi/N$	$11\pi/N$	74
凯泽窗 ($\beta = 7.865$)	-57		$10\pi/N$	80

阻带最小衰减只由窗形状决定
过渡带宽则与窗形状和窗宽 N 都有关

6.2 窗函数设计法

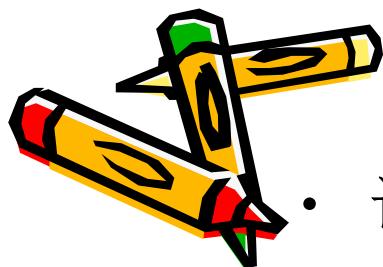
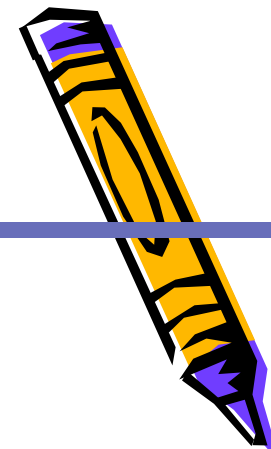
3、窗函数法的设计步骤

- 给定理想的频率响应函数 $H_d(e^{j\omega})$ 及技术指标 $\alpha_s, \Delta\omega$
- 求出理想的单位抽样响应 $h_d(n)$
- 根据阻带衰减选择窗函数 $w(n)$
- 根据过渡带宽度确定 **N** 值 $N = A / \Delta\omega$

- 求所设计的**FIR**滤波器的单位抽样响应

$$h(n) = h_d(n) \cdot w(n)$$

- 计算频率响应 $H(e^{j\omega})$ ，验算指标是否满足要求



6.2 窗函数设计法

$$H_d(e^{j\omega}) \longrightarrow h_d(n)$$

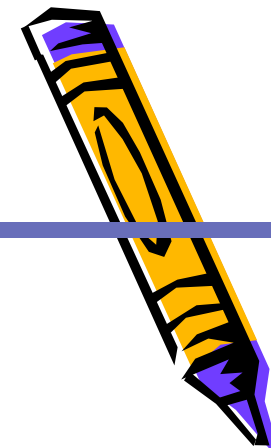
公式法:
$$h_d(n) = \frac{1}{2\pi} \int_{-\pi}^{\pi} H_d(e^{j\omega}) e^{j\omega n} d\omega$$

IFFT法:

对 $H_d(e^{j\omega})$ M 点等间隔抽样: $H_d(e^{j\frac{2\pi}{M}k})$

计算其IFFT, 得:
$$h_M(n) = \sum_{r=-\infty}^{\infty} h_d(n + rM)$$

当 $M \square N$ 时, $h_d(n) \approx h_M(n)$



6.2 窗函数设计法

4、线性相位FIR低通滤波器的设计

例：设计一个线性相位FIR低通滤波器，

给定抽样频率为 $\Omega_s = 2\pi \times 1.5 \times 10^4 (rad / sec)$

通带截止频率为 $\Omega_p = 2\pi \times 1.5 \times 10^3 (rad / sec)$

阻带起始频率为 $\Omega_{st} = 2\pi \times 3 \times 10^3 (rad / sec)$

阻带衰减不小于 **-50dB**，幅度特性如图所示

解： 1) 求数字频率

$$\omega_p = \Omega_p / f_s = 2\pi\Omega_p / \Omega_s = 0.2\pi$$

$$\omega_{st} = \Omega_{st} / f_s = 2\pi\Omega_{st} / \Omega_s = 0.4\pi$$

$$\alpha_s = 50dB$$

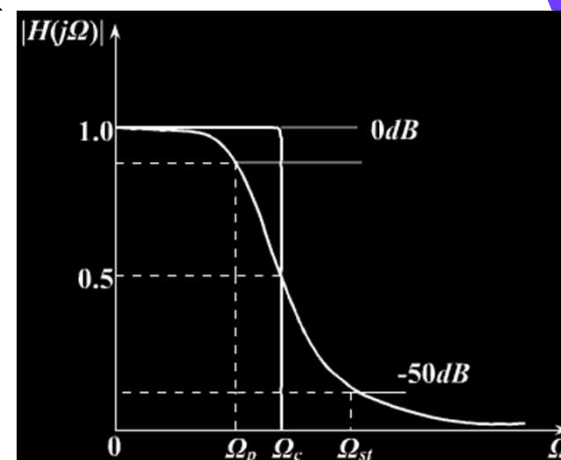


图6-6 要求的模拟低通滤波器特性

6.2 窗函数设计法

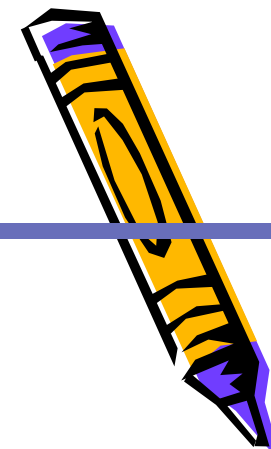
2) 求 $h_d(n)$

$$H_d(e^{j\omega}) = \begin{cases} e^{-j\omega\tau} & -\omega_c \leq \omega \leq \omega_c \\ 0 & -\pi \leq \omega \leq -\omega_c, \omega_c \leq \omega \leq \pi \end{cases}$$

$$\omega_c = \frac{\Omega_c}{f_s} = 2\pi \frac{1/2(\Omega_p + \Omega_{st})}{\Omega_s} = 0.3\pi$$

$$h_d(n) = \frac{1}{2\pi} \int_{-\pi}^{\pi} e^{-j\omega\tau} e^{j\omega n} d\omega = \frac{1}{2\pi} \int_{-\omega_c}^{\omega_c} e^{j\omega(n-\tau)} d\omega$$

$$= \begin{cases} \frac{1}{\pi(n-\tau)} \sin[\omega_c(n-\tau)] & n \neq \tau \\ \frac{\omega_c}{\pi} & n = \tau \end{cases} \quad \tau = \frac{N-1}{2}$$



6.2 窗函数设计法

3) 选择窗函数: 由 $\alpha_s = 50dB$ 确定汉明窗 (53dB)

$$w(n) = \left[0.54 - 0.46 \cos \frac{2\pi n}{N-1} \right] R_N(n)$$

4) 确定 N 值

海明窗带宽: $\Delta\omega = \frac{6.6\pi}{N}$

$$\Delta\omega = 2\pi \frac{\Omega_{st} - \Omega_p}{\Omega_s} = 0.2\pi$$

$$N = \frac{A}{\Delta\omega} = \frac{6.6\pi}{0.2\pi} = 33$$

$$\tau = \frac{N-1}{2} = 16$$



6.2 窗函数设计法

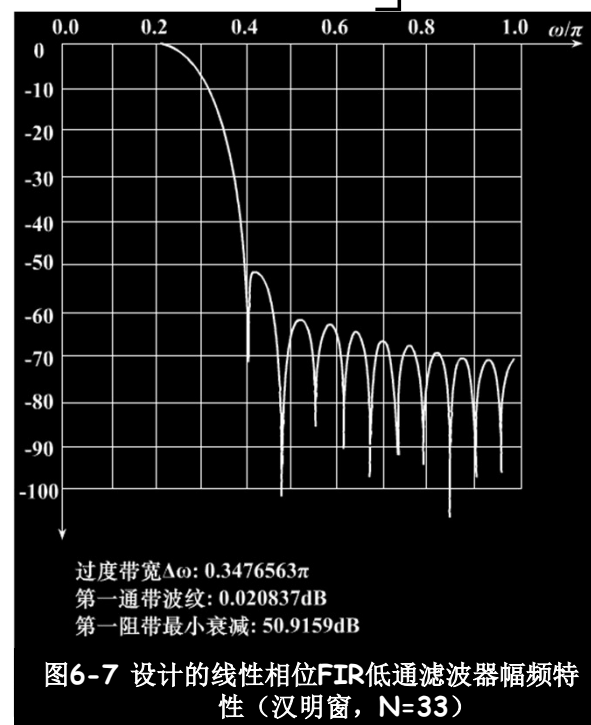
5) 确定FIR滤波器的 $h(n)$

$$h(n) = h_d(n)w(n)$$

$$= \frac{\sin\left[0.3\pi(n-16)\right]}{\pi(n-16)} \cdot \left[0.54 - 0.46\cos\frac{\pi n}{16}\right] R_{33}(n)$$

6) 求 $H(e^{j\omega})$ ，验证

若不满足，则改变 N
或窗形状重新设计



6.3 频率采样设计法

1、设计方法

对理想频率响应等间隔采样

作为实际**FIR**数字滤波器的频率特性的采样值

$$H(k) = H_d(k) = H_d(e^{j\omega}) \Big|_{\omega = \frac{2\pi}{N}k} \quad k = 0, 1, \dots, N-1$$

$\downarrow \quad \searrow \quad \nearrow$

$h(n) \quad H(z) \quad H(e^{j\omega})$

窗函数设计法:

$$H(e^{j\omega}) = \sum_{n=0}^{N-1} h(n)e^{-j\omega n} \rightarrow H_d(e^{j\omega})$$



$$h(n) = w(n)h_d(n) \rightarrow h_d(n) = \frac{1}{2\pi} \int_{-\pi}^{\pi} H_d(e^{j\omega}) e^{j\omega n} d\omega$$

6.3 频率采样设计法

内插公式:

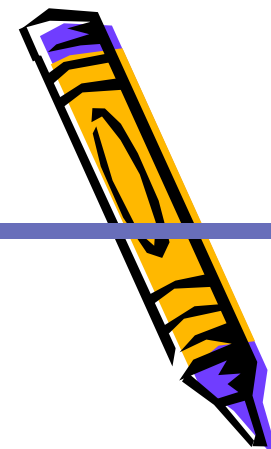
$$H(z) = \frac{1-z^{-N}}{N} \sum_{k=0}^{N-1} \frac{H(k)}{1-W_N^{-k}z^{-1}}$$

$$H(e^{j\omega}) = \sum_{k=0}^{N-1} H(k) \Phi\left(\omega - \frac{2\pi}{N}k\right)$$

$$\Phi(\omega) = \frac{1}{N} \frac{\sin \frac{\omega N}{2}}{\sin \frac{\omega}{2}} e^{-j\omega \frac{N-1}{2}}$$



$$H(e^{j\omega}) = e^{-j\frac{N-1}{2}\omega} \sum_{k=0}^{N-1} H(k) \frac{1}{N} e^{j\frac{\pi k}{N}(N-1)} \frac{\sin \left[N \left(\frac{\omega}{2} - \frac{\pi k}{N} \right) \right]}{\sin \left(\frac{\omega}{2} - \frac{\pi k}{N} \right)}$$



6.3 频率采样设计法

- 抽样点上，频率响应严格相等
- 抽样点之间，加权内插函数的延伸叠加
- 变化越平缓，内插越接近理想值，逼近误差较小

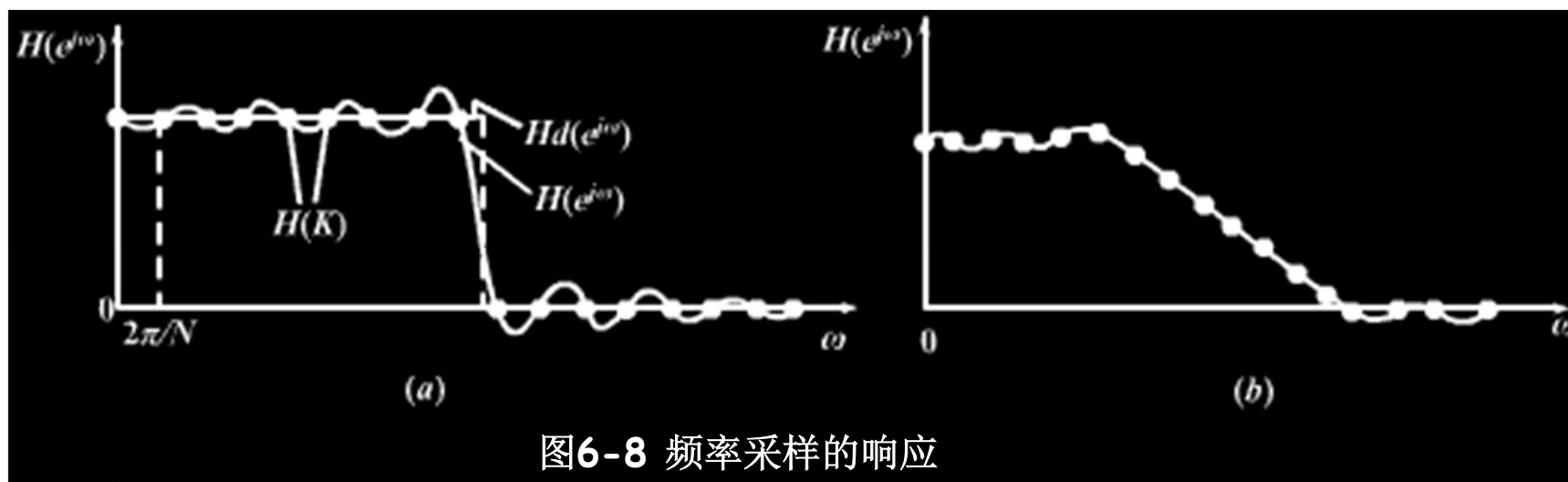


图6-8 频率采样的响应

6.3 频率采样设计法

- 频率采样设计法的改进措施
增加过渡带抽样点，可加大阻带衰减

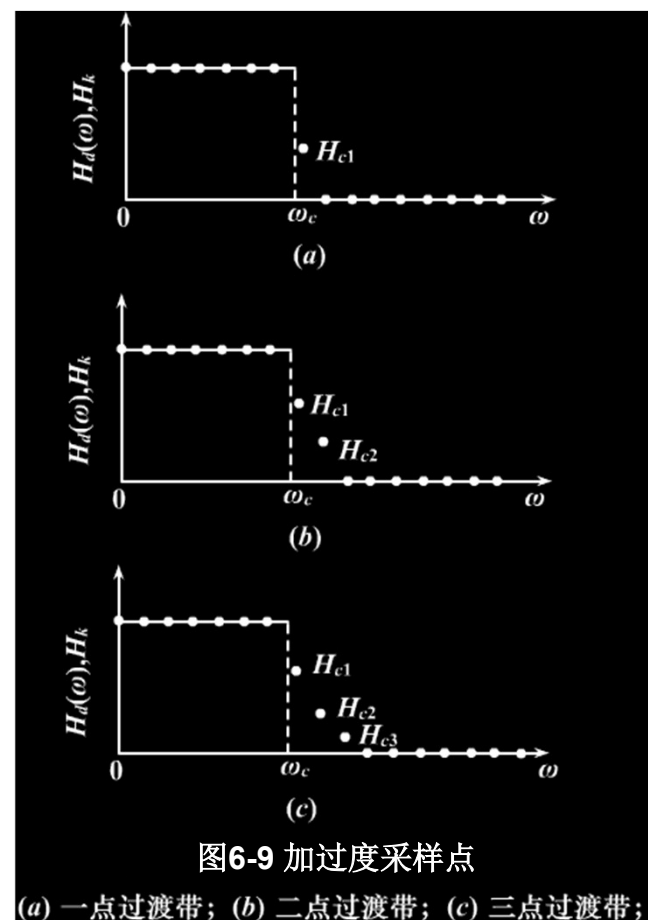
$$H(e^{j\omega}) = \sum_{k=0}^{N-1} H(k) \Phi\left(\omega - \frac{2\pi}{N}k\right)$$

不加过渡抽样点： $\alpha_s = -20dB$

加一点： $\alpha_s = -40 \sim -54dB$

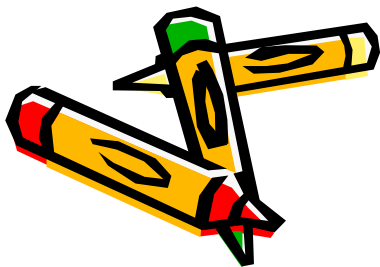
加两点： $\alpha_s = -60 \sim -75dB$

加三点： $\alpha_s = -80 \sim -95dB$



6.3 频率采样设计法

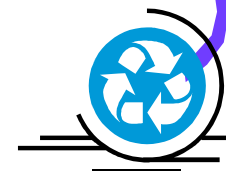
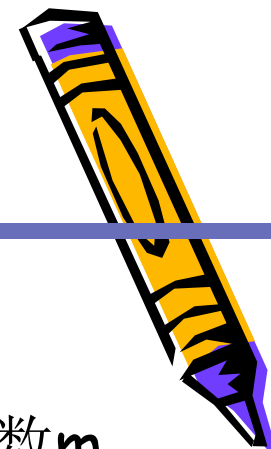
- 增加过渡带抽样点，可加大阻带衰减，但导致过渡带变宽 (N 确定)
- 增加 N ，使抽样点变密，减小过渡带宽度，但增加了计算量
- 优点：频域直接设计
- 缺点：抽样频率只能是 $2\pi / N$ 或 π / N 的整数倍，截止频率 ω_c 不能任意取值



6.3 频率采样设计法

2、频率采样法的设计步骤

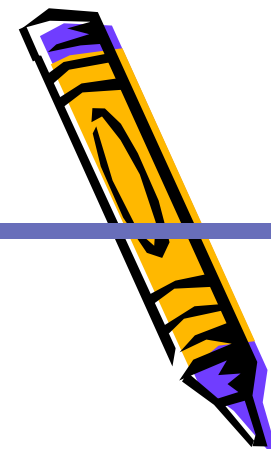
- (1) 根据阻带最小衰减 α_s ，确定过渡带采样点的个数 m
- (2) 根据过渡带宽度 ΔB 的要求，估算滤波器的长度 N
- (3) 构造希望逼近滤波器的频率响应函数 $H_d(e^{j\omega})$
- (4) 对 $H_d(e^{j\omega})$ 进行频域等间隔 N 点采样，得 $H(K)$
- (5) 对 $H(k)$ 进行 N 点IDFT，得FIR滤波器的单位脉冲响应 $h(n)$ ，经Z变换，得滤波器的系统函数 $H(z)$ 。
- (6) 对设计结果进行检验。



6.4 优化设计

存在问题：

- 1、不能精确指定边界频率 $\omega_p\omega_s$
- 2、窗函数设计，阻带和通带波纹幅度相等；频率采样设计只能控制阻带波纹幅度。不能分别控制。
- 3、期望滤波器和设计滤波器存在逼近误差。



6.4 优化设计

- **FIR**滤波器的最优化设计准则:

1、均方误差最小准则

频率响应误差:

$$E(e^{j\omega}) = H_d(e^{j\omega}) - H(e^{j\omega})$$

理想频响

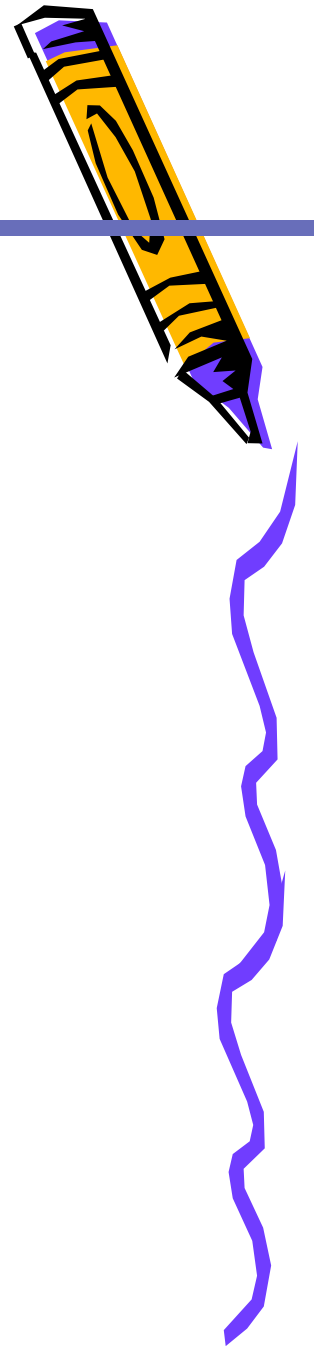
实际频响

∴矩形窗设计结果必满足最小均方误差准则

2、最大误差最小化准则

(加权chebyshev等波纹逼近)

利用**Matlab**信号处理工具箱函数



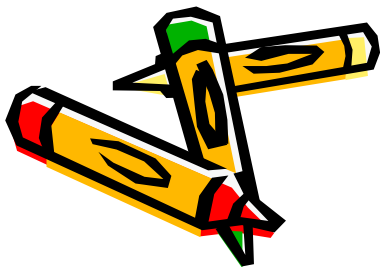
6.4 优化设计

等波纹最佳逼近法设计**FIR**数字滤波器：

帕克斯—麦克莱伦采用基于**交替定理**的雷米兹交替算法，通过逐次迭代逼近的运算求得滤波器的系数向量 $\mathbf{h}(n)$ ，实现了**等波纹最佳逼近法**的滤波器设计。

调用**remez**和**remezord**实现该方法。

p312



(**matlab2013b**中提示将更新为**firpm**、**firpmord**)

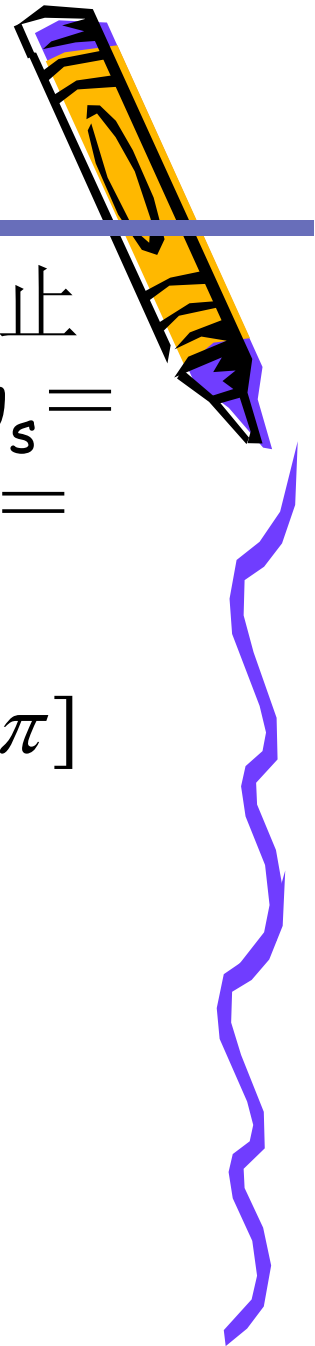
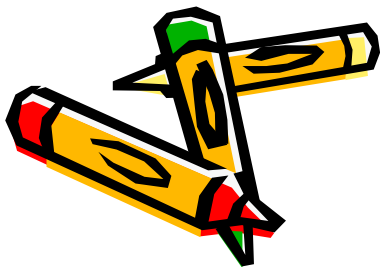


6.4 优化设计

- 例设计数字低通滤波器，要求通带截止频率 $\omega_p = 0.25\pi \text{ rad}$ ，阻带截止频率 $\omega_s = 0.3\pi \text{ rad}$ ，通带最大衰减 $\alpha_p = 1\text{db}$ $\alpha_s = 40\text{db}$
- Remezord调用参数： $f = [\omega_p / \pi, \omega_s / \pi]$

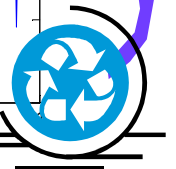
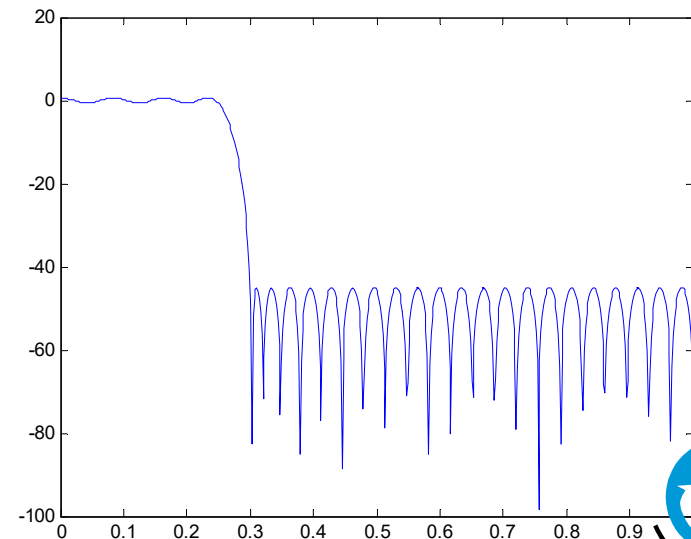
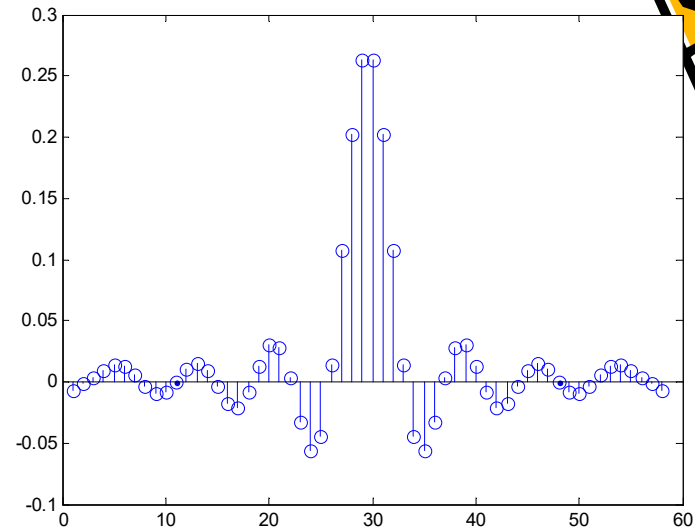
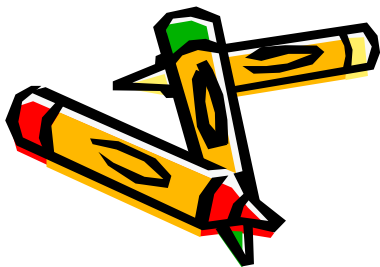
$$m = [1, 0] \quad rip = [\delta_1, \delta_2]$$

$$\delta_1 = \frac{10^{\alpha_p/20} - 1}{10^{\alpha_p/20} + 1}, \delta_2 = 10^{-\alpha_s/20}$$



6.4 优化设计

- $f=[0.25,0.3];m=[1,0];$
- $R_p=1;R_s=40;$
- $dat1=(10^{(R_p/20)}-1)/(10^{(R_p/20)}+1);$
- $dat2=10^{(-R_s/20)};$
- $rip=[dat1,dat2];$
- $[M,f0,m0,w]=remezord(f,m,rip);$
- $\%M=M+1;$ $\%如何检验?$
- $hn=remez(M,f0,m0,w);$
- $figure(1)$
- $stem([1:M+1],hn);$
- $figure(3)$
- $[H,W]=freqz(hn)$
- $mag=10*\log(abs(H)); plot(W/pi,mag);$



6.5、IIR和FIR数字滤波器的比较

IIR滤波器

- $h(n)$ 无限长
- 极点位于 z 平面任意位置
- 滤波器阶次低
- 非线性相位
- 递归结构
- 不能用FFT计算
- 可用模拟滤波器设计

用于设计规格化的选频滤波器

FIR滤波器

- $h(n)$ 有限长
- 极点固定在原点
- 滤波器阶次高得多
- 可严格的线性相位
- 一般采用非递归结构
- 可用FFT计算
- 设计借助于计算机
- 可设计各种幅频特性和相频特性的滤波器

